

УДК 541.64:536.7

## СПИНОДАЛЬ В СИСТЕМЕ ПОЛИМЕР — ПОЛИМЕР — РАСТВОРИТЕЛЬ

*Будтов В. П.*

На основе оценки величины параметров исключенного объема получены аналитические соотношения для спинодалей в указанных системах. Проведен анализ зависимости спинодальных кривых от состава, ММ компонент, качества растворителя.

Ограниченнное количество типов промышленно важных полимеров и возрастающие требования к полимерным материалам приводят к тому, что в практике в широком масштабе используют композиции на основе полимеров. О сложности возникающих физико-химических, структурных и других проблем свидетельствует то, что только недавно появились надлежащие обобщения некоторых вопросов по смесям полимеров [1, 2]. Существенной задачей в этой области физико-химии полимеров является предсказание и расчет термодинамических свойств и фазовых диаграмм композиционных систем. Анализ основных экспериментальных данных приведен в работе [3]. Расчет фазовых диаграмм и построение обобщенных закономерностей в трехкомпонентных системах в литературе фактически не отражены из-за сложности явлений, больших математических трудностей и громоздкости аналитических соотношений. В недавно появившейся работе [4] полученные соотношения для спинодали фактически не позволяют оценить и предсказать возможное изменение свойств при вариации параметров системы.

Предсказание термодинамических свойств растворов полимеров и их смесей обычно основаны на простейшей термодинамике Флори — Хаггинса [5, 6]. Однако даже в таком случае при решении задач требуется применение вычислительной техники [5, 7]. В то же время получение аналитических закономерностей значительно расширяет предсказательную силу теории, позволяет правильно анализировать и обобщать экспериментальные данные. Ранее [8] было показано, что, используя введение малого параметра  $\varepsilon$ <sup>1</sup>, удалось для бинарной системы полимер — растворитель получить удобные аналитические соотношения для спинодали и бинодали, выявить влияние ММ, температуры, предложить методику построения обобщенной фазовой диаграммы.

В этой работе с использованием разложения по параметру  $\varepsilon$  получено выражение для спинодальной кривой в трехкомпонентной системе, выявлены зависимости границ спинодальной области  $\varphi_c$  от состава смеси, ММ компонент, параметров термодинамических взаимодействий. Однако применение такого подхода возможно только при соответствующей оценке величины  $\varepsilon$  для каждого компонента в системе. В связи с этим был рассмотрен также простейший вариант статистической термодинамики Пригожина — Паттерсона — Флори [10, 11] и оценены возможные величины параметров  $\chi_{ik}$  ( $\varepsilon_{ik} = 2\chi_{ik} - 1$ ).

Несомненно, расчет спинодали — это не полный расчет фазовой диаграммы системы. Однако мы надеемся, что полученные соотношения для спинодали будут коррелировать с бинодалью. Кроме того, из-за кинети-

<sup>1</sup> Параметр  $\varepsilon$  — приведенный параметр исключенного объема, константа «связи» [9].

ческих ограничений полимерные системы сравнительно легко попадают в спинодальную область [12], и знание спинодали важно при предсказании свойств композиционных материалов (таких, как ударопрочные ПС-пластики [13, 14]).

1. Прежде всего на примере бинарной системы введем основные параметры данной модели. Для раствора полимера имеем следующее выражение для изменения химического потенциала  $\Delta\mu_1$  растворителя при растворении

$$\frac{\Delta\mu_1}{kT} = \ln(1-\varphi) + \left(1 - \frac{1}{m}\right)\varphi + \chi_1\varphi^2, \quad (1)$$

где  $\varphi$  — объемная концентрация полимера;  $m$  — отношение мольных объемов полимера и растворителя;  $\chi_1$  — некоторая эффективная величина, характеризующая энергетические, а также некомбинаторные энтропийные слагаемые свободной энергии<sup>2</sup>.

Параметр  $\varepsilon$ , характеризующий приведенный исключенный объем сегмента, составляет

$$\varepsilon = 2\chi_1 - 1 \quad (2)$$

и может быть больше нуля (для нерастворителя, плохого и  $\theta$ -растворителя при конечной массе) и меньше нуля (для хорошего растворителя). Для атермического растворителя  $\varepsilon = -1$ .

Для критической точки (или вершины спинодали для полидисперсного образца)  $\varepsilon_k$  и критическая концентрация  $\varphi_k$  составляют

$$\varepsilon_k = \frac{2\sqrt{m+1}}{m} \approx \frac{2}{\sqrt{m}}, \quad \varphi_k = \frac{1}{\sqrt{m+1}} \approx \frac{1}{\sqrt{m}} \quad (3)$$

Вблизи от критической точки

$$\varepsilon = \varepsilon_k(1+\delta), \quad \delta = \frac{2\chi_H}{T_k\varepsilon_k} \left(1 - \frac{T}{T_k}\right), \quad (4)$$

где  $\chi_H$ ,  $\chi_S$  — энтальпийная и энтропийная части  $\chi = \chi_S + \frac{\chi_H}{T}$ ;  $T_k$  — критическая температура, а кривая спинодали  $\varphi_c$  описывается ( $\varphi_c'$  — левая ветвь,  $\varphi_c''$  — правая ветвь)

$$\varphi_c' = \varphi_k e^{-\sqrt{2\delta}}, \quad \varphi_c'' = \varphi_k e^{\sqrt{2\delta}} \quad 0 < \delta < 1 \quad (5a)$$

$$\varphi_c' = \frac{\varepsilon_k}{4(1+\delta)}, \quad \varphi_c'' = \frac{\varepsilon}{1+\varepsilon} \quad \delta > 1 \quad (5b)$$

Величина параметра  $\delta < 0$  характеризует область однофазной системы. Соотношения для бинодали приведены в работе [8]. Необходимо отметить, что полученные соотношения применимы не только для растворов полимеров, но и для смесей полимеров, т. е. для них можно использовать соотношение (2)–(5), где  $m$  — отношение мольных объемов компонент, а вместо  $\chi_1$  необходимо подставить величину  $m\chi_1$ .

Химический потенциал растворителя, выраженный с использованием параметра  $\varepsilon$  и сохранением членов порядка  $\varepsilon$  ( $\varphi \sim \varepsilon$ ), равен

$$\frac{\Delta\mu_1}{kT} = -\frac{\varphi}{m} + \frac{\varepsilon}{2}\varphi^2 - \frac{\varphi^3}{3} \quad (6)$$

и, как видно, соотношение (6) для  $\Delta\mu_1$  значительно проще по сравнению с формулой (1).

Для многокомпонентной системы полимер — растворитель изменение

<sup>2</sup> Хорошо известно, что величина  $\chi_1$  зависит от концентрации, ММ и  $T$ . Влияние концентрационной зависимости  $\chi_1$  на форму и положение бинодали и спинодали рассмотрено в работе [8]. Учет зависимости  $\chi_1(\varphi)$  только количественно сказывается на полученных закономерностях.

<sup>3</sup> Если задана иная зависимость  $\chi_1$  от  $T$ , то выражение для  $\delta$  тоже будет иметь другой вид.

свободной энергии смешения Гиббса дается

$$\frac{\Delta G}{kT} = \left\{ \sum_i \frac{\varphi_i}{m_i} \ln \varphi_i + \sum_{i,k} \varphi_i \varphi_k \chi_{ik} \right\} \sum_i n_i m_i, \quad (7)$$

где  $\varphi_i$ ,  $m_i$ ,  $n_i$  — объемные доли, массы, число молей  $i$ -го компонента;  $\chi_{ik}$  — параметр взаимодействия. Далее мы считаем, что ММ растворителя  $m_1=1$ . Химический потенциал растворителя ( $\varphi_1$  — объемная доля растворителя) составляет

$$\frac{\Delta \mu_1}{kT} = 1 - \varphi_1 + \ln \varphi_1 - \frac{\varphi}{m_n} + \varphi^2 \langle \chi_1 \rangle, \quad (8)$$

где  $m_n$  — среднечисленная ММ;  $\varphi=1-\varphi_1$ , а параметр  $\langle \chi_1 \rangle$  выражается через  $\chi_{ik}$  (суммирование ведется по всем полимерным компонентам)

$$\langle \chi_1 \rangle = \sum_j \chi_{1j} x_j - \sum_{j,k} x_k x_j \chi_{jk}, \quad (9)$$

где  $x_j$  — весовая доля  $j$ -го полимера в смеси. Соотношение (9) показывает, что так называемый параметр взаимодействия растворителя с полимером  $\langle \chi_1 \rangle$  зависит не только от взаимодействия растворителя с полимерными компонентами смеси  $\chi_{1j}$ , но и от взаимодействия полимерных составляющих между собой  $\chi_{jk}$ , причем для смеси двух монодисперсных полимеров  $\chi_{jk}$  преобразуется в  $\chi_{2,3}$ .

Оценим величины  $\chi_{1j}$  и  $\chi_{jk}$ . Современная статистическая термодинамика растворов цепных молекул [10, 11] дает возможность рассчитать величину  $\chi_{1j}$ . Соответствующие выражения приведены во многих работах, поэтому здесь не даем полного и сложного для анализа соотношения для  $\chi_{1j}$ . Известно, что оно достаточно хорошо описывает экспериментальные закономерности. В то же время для выяснения более четкой функциональной зависимости  $\chi_1$  от концентрации и ММ полное соотношение для  $\chi_1$  можно преобразовать к виду

$$\chi_1 = \frac{V_1}{\bar{v}} \frac{\kappa}{RT} + A_0 + (A_1 - A_0)\varphi, \quad (10)$$

где первое слагаемое характеризует энергетическую составляющую, а второе и третье — энтропийную, связанную со свободным объемом. Параметры  $A_0$  и  $A_1$  даются соотношениями

$$A_0 = \frac{p_1 V_1^*}{3RT \tilde{v}_1^3} \frac{1}{\tilde{v}_1^{1/2} - 1} (V_2^* - V_1^*)^2 \quad (11)$$

$$A_1 = \frac{p_1 V_1^*}{RT} \left\{ \frac{1}{\tilde{v}_1} - \frac{1}{\tilde{v}_2} + 3T_1 \ln \frac{\tilde{v}_1^{1/2} - 1}{\tilde{v}_2^{1/2} - 1} \right\} \quad (12)$$

Здесь  $V_1^*$ ,  $V_2^*$  — собственные объемы растворителя и элементарного звена полимерной цепи;  $\tilde{v}_i = v/V_i^*$ , где  $v$  — объем;  $p_1^*$ ,  $T_1^*$  — характеристические давление и температура растворителя.

Как видно из приведенных соотношений (11), (12), величины  $A_0$  и  $A_1$  не зависят от концентрации в отличие от слагаемых в выражении Флори. Сопоставление соотношений (10)–(12) с термодинамическими данными в широком интервале концентрации (например, с данными работы [15]) показывает достаточно хорошее соответствие. При этом величина  $A_0$  лежит в пределах 0–0,4, а  $A_1$  – 0,4–0,5.

Поскольку  $V_2^*$ , а следовательно, и  $\tilde{v}_2$  зависят от  $M$ :  $V_2^* = V_{20}^* + (a'/M)$  ( $V_{20}^*$  — для однородной цепи,  $a'$  — постоянная порядка единицы), то и  $A_0$  должно подчиняться соотношению  $A_0 = A_{00} + (a''/m)$ , где  $A_{00}$  относится к однородной цепи,  $a''$  — константа порядка единицы. Аналогичное соотношение можно получить и для  $A_1$ . Таким образом, окончательно для  $\langle \chi_1 \rangle$  имеем

$$\chi_1 = \chi_{10} + \frac{b'}{m_n}, \quad (13)$$

где  $\chi_{10}$  — для однородной цепи,  $b'$  — константа порядка единицы. При этом появление второго слагаемого связано с наличием концевых групп иной природы, чем мономерное звено.

Рассмотрим теперь  $\chi_{ik}$ , т. е. параметр, характерный для взаимодействия полимерных компонент. Если мы рассматриваем смесь полимергомологов, то фактически необходимо учесть только слагаемые, характеризующие различие в свободных объемах. Тогда получаем<sup>4</sup>  $\chi_{ik} \sim b'/m$ . Окончательно для  $\langle \chi_i \rangle$  получаем (раствор полидисперсного полимера)

$$\langle \chi_i \rangle = \chi_{10} + \frac{b'}{m_n} = 0,5 + \frac{1+\delta}{\sqrt{m_w}} + \frac{b'}{m_n}, \quad (14)$$

где  $b'$  — константа порядка единицы (второе слагаемое с  $m_w$  будет получено ниже);  $m_n$ ,  $m_w$  — величины, пропорциональные среднечисленной и средневесовой ММ. Таким образом, видно, что зависимость  $\langle \chi_i \rangle$  от ММ для раствора полидисперсного полимера достаточно сложная (особенно учитывая, что  $\delta$  отрицательна для хороших растворителей). Для смесей разнородных полимеров  $\chi_{ik}$  может принимать любое значение за счет вклада энергетической составляющей, однако энтропийная компонента равна  $b'/m$ .

Используя данную выше оценку  $\langle \chi_i \rangle$ , можно получить упрощенное соотношение для  $\Delta \mu_i$ , аналогичное выражению (6)

$$\frac{\Delta \mu_i}{kT} = -\frac{\Phi}{m_n} + \frac{1+\delta}{\sqrt{m_w}} \Phi^2 - \frac{\Phi^3}{3} \quad (15)$$

Таким же образом можно получить и соотношения для химических потенциалов полимерных компонент в растворе.

2. Хорошо известно, что расслоение системы в спинодальной области приводит к образованию специфических структур, размер которых определяется удалением точки фазового пространства от спинодальной кривой. В связи с этим расчет спинодали в трехкомпонентной системе имеет важное значение.

Для трехкомпонентной системы спинодаль описывается соотношением [18]

$$\sum_i m_i \varphi_{ic} - 2 \sum_{i,j} m_i m_j \chi_{ij} \varphi_{ic} \varphi_{jc} + m_1 m_2 m_3 \varphi_{1c} \varphi_{2c} \varphi_{3c} \cdot \\ \cdot [\chi_{23} (2\chi_{12} + 2\chi_{13} - \chi_{23}) - (\chi_{12} - \chi_{13})^2] = 0 \quad (16)$$

Для растворов полидисперсного полимера, пренебрегая величинами  $\chi_{23}$  и считая  $\chi_{1i} = \chi_{ii}$ , получаем известное соотношение для спинодали  $\varphi_c$  [6]

$$1 - \varphi_c + m_w \varphi_c - 2\varphi_c (1 - \varphi_c) \chi_{1i} = 0 \quad (17)$$

и отсюда  $\varepsilon_k \approx 2/\sqrt{m_w}$  (формулы (3) и 14)).

Для трехкомпонентной системы уравнение спинодали имеет вид

$$1 - \langle \varepsilon \rangle m_w \varphi_c + m_w \varphi_c^2 - \varphi_c^2 (1 - \varphi_c) B = 0, \quad (18)$$

где  $\langle \varepsilon \rangle m_w = x_3 \varepsilon_3 m_3 + x_2 \varepsilon_2 m_2$ ,  $x_3 = 1 - x_2$ ,  $x_2$ ,  $x_3$  (состав смеси) полимеров 2 и 3;  $\varphi_2 = x_2 \varphi$ ;  $\varphi_3 = x_3 \varphi$ . Величина  $B$  равна  $m_2 m_3 x_2 x_3 \cdot [\Delta \chi^2 + \chi_{23} (\chi_{23} - 2\chi_{12} - 2\chi_{13}) + 2\chi_{23} \varphi_1^{-1}]$ . Здесь  $\Delta \chi = \chi_{12} - \chi_{13}$ . Одна из групп слагаемых в  $B$  значительно меньше других при  $\varphi_1 > 0$ . В связи с этим для величины  $B$  окончательно имеем

$$B = m_2 m_3 x_2 (1 - x_2) [\chi_{23}^2 + \Delta \chi^2] = m_2 m_3 x_2 x_3 E, \quad (19)$$

где  $E = \Delta \chi^2 + \chi_{23}^2$ .

Если нет особых энергетических взаимодействий, приводящих к изменению энталпии смешения, то  $\chi_{23}^2 < \Delta \chi^2$ . Таким образом, видно, что эффект  $\Delta \chi$  будет превалирующим при определении фазовой диаграммы раствора смесей полимеров. Этот вывод совпадает с результатами работ [19, 20].

Точное решение уравнения (18) не удается получить в аналитиче-

<sup>4</sup> По данным А. Е. Чалых и И. Н. Сапожниковой  $\chi_{23} \sim 10^{-3}$  при  $m \sim 10^3$  [16, 17].

ском виде, хотя решение не вызывает затруднений при использовании ЭВМ. Тем не менее можно получить приближенные решения, достаточно хорошо описывающие точное решение уравнения (18).

2.1. Рассмотрим случай  $m_w > B$ . Спинодальное разделение в растворе смеси полимеров в этом случае будет наблюдаться только тогда, когда при заданной температуре  $T$  (или  $\varepsilon_T$ ) в растворе одного из полимеров (или каждого) может наблюдаться спинодальное разделение, т. е.  $\varepsilon_T \geq \varepsilon_2$  или  $\varepsilon_3$ . Фазовая диаграмма будет подобна фазовой диаграмме раствора

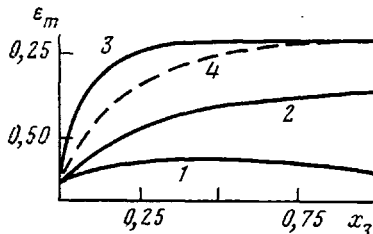


Рис. 1

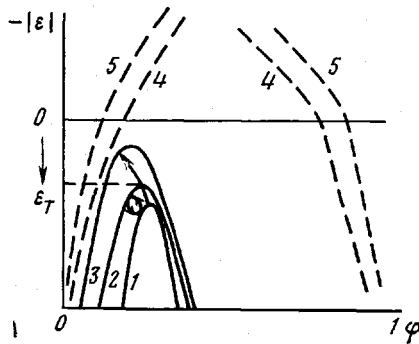


Рис. 2

Рис. 1. Зависимость  $\varepsilon_m$  от  $x_3$  для  $m_2=10$ ;  $m_3=10$  (1), 20 (2) и 100 (3, 4) при  $E=0,1$  (1-3) и  $E=0$  (4)

Рис. 2. Спинодальные кривые (схема фазовых диаграмм) для рассмотренных случаев:  $B < m_w$  (1-3) и  $B > m_w$  (4, 5). Стрелками показано увеличение  $x_3$ : 1 → 2 → 1 – близкие ММ, 1 → 3, 4 → 5 –  $m_3 > m_2$

одного из полимеров (бинарная система) и  $\varphi_c$  мало ( $m \gg 1$ ). Зависимость  $\varphi_c(T)$  будет описываться соотношениями (3)–(5). Положение максимума спинодали ( $\varepsilon_m$ ,  $\varphi_m$ ) дается выражениями

$$\varepsilon_m = \frac{2}{\sqrt{m_w}} \sqrt{1 - \frac{B}{m_w}}, \quad \varphi_m = \frac{1}{\sqrt{m_w}} \cdot \frac{1}{\sqrt{1 - \frac{B}{m_w}}} \quad (20)$$

и  $m_w \varepsilon_m \varphi_m = 2$ . Для  $\varphi_c$  получаем

$$\varphi_c = \left[ \frac{\varepsilon_T}{2} \pm \sqrt{\frac{\varepsilon_T^2}{4} - \frac{\varepsilon_m^2}{4}} \right] \left( 1 - \frac{B}{m_w} \right)^{-1}, \quad (21)$$

где  $\varepsilon_T$  – функция температуры (формула (4)).

Таким образом, спинодаль в окрестности максимума описывается симметричной кривой  $\varphi_c=f(T)$ . Положение точки максимума будет определяться как изменением  $m_w$ , так и слагаемым  $Bm_w^{-1}$ . Добавление полимера с  $m_3$  ( $m_3 > m_2$ ) увеличивает  $m_w$ , т. е. уменьшает  $\varepsilon_m$ , и система становится в большей части фазовой области неоднородной. Аналогичный эффект вызывает и сомножитель с  $B$ . Видно (рис. 1), что эффект, обусловленный этим фактором, не очень велик, значительно сильнее сказывается на фазовой диаграмме изменение общей ММ. На рис. 2 схематично приведены фазовые диаграммы растворов смеси полимеров и стрелками показаны изменения диаграмм при увеличении  $x_3$ . Также видно, что если зафиксировать  $\varepsilon_T$  (эксперимент проводится при постоянной температуре,  $\varepsilon=\varepsilon_T$  (штриховая линия)), то при увеличении  $x_3$  система может подойти к спинодали и, следовательно, может наблюдаться спинодальный распад системы, хотя раствор первого полимера во всей области однороден.

Пусть величина  $\varepsilon_T < \varepsilon_2$ , т. е. для раствора первого полимера не может наблюдаться спинодальный распад. В этот раствор добавляем раствор второго полимера так, что общая концентрация полимеров  $\varphi$  не меняется: увеличивается доля  $x_3$  второго полимера. Бинодальный распад будет на-

блюдаются при  $x_3 = x_3^*$ . Величина  $x_3^*$  определяется из соотношения

$$4m_2 m_3 x_3^* (1 - x_3^*) E = 4m_w^* - \varepsilon_T^2 m_w^{*2}, \quad (22)$$

где  $m_w^* = m_2 + x_3^* (m_3 - m_2)$ . Если  $m_2 \approx m_3$ , то

$$x_3^{*'} \approx \frac{4 - \varepsilon_T^2 m_2}{4m_2 E}, \quad x_3^{*''} = 1 - x_3^{*'}, \quad (23)$$

т. е. имеется ограниченная слева  $x_3^{*''}$  и справа  $x_3^{*''}$  область спинодального разделения. Если же  $m_3 > m_2$ , так что  $\varepsilon_T > \varepsilon_3$ , то

$$x_3^{*'} \approx \frac{4 - m_2 \varepsilon_T^2}{(2\varepsilon_T^2 m_2 - 4)(m_3 - m_2)}, \quad x_3^{*''} = 1 \quad (24)$$

Если  $x_3 > x_3'$  и система находится под спинодалью, то для того чтобы не наблюдать спинодальный распад, необходимо уменьшить общую концентрацию полимера в растворе, т. е.  $\varphi_c$  будет функцией  $x_3$  и описывается соотношениями (20) и (21).

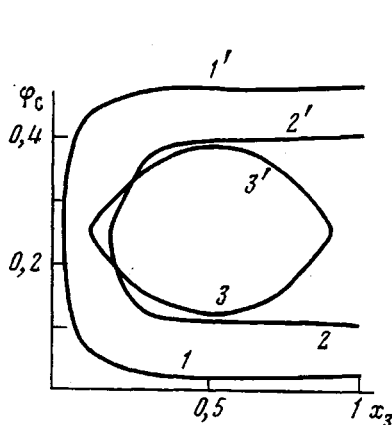


Рис. 3

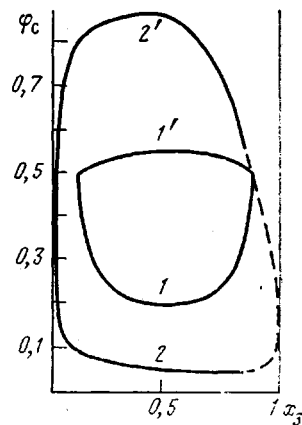


Рис. 4

Рис. 3. Зависимость  $\varphi_c$  от  $x_3$ , рассчитанная по формулам (20), (21) для  $m_3 = 100$  (1, 1'), 20 (2, 2'), 10 (3, 3') и  $\varepsilon_T = 0,5$  (1, 1', 2, 2'), 0,6 (3, 3');  $E = 0,1$ . 1-3 – нижняя и 1'-3' – верхняя границы

Рис. 4. Зависимости  $\varphi_c$  от  $x_3$ , рассчитанные по формулам (25), (26) при  $m_2 = 10$  и  $m_3 = 10$  (1, 1') или 100 (2, 2');  $E = 1$ ,  $\varepsilon_T = 0,2$ . Штриховая линия – расчет по формулам (20) и (21); 1, 2 – нижняя и 1', 2' – верхняя границы

На рис. 3 представлены зависимости  $\varphi_c'$  и  $\varphi_c''$  от  $x_3$ . В случае  $\varepsilon_T < \varepsilon_2$  (исходный раствор не имеет спинодальной области разделения) и  $m_3 > m_2$  имеется точка  $x_3'$  (на графике  $x_3' \sim 0,01$ ), которая разделяет область, где может ( $x_3 \geq x_3'$ ) и не может ( $x_3 < x_3'$ ) наблюдаться спинодальный распад. При этом область спинодального распада ( $\varphi_c'' - \varphi_c'$ ) значительно расширяется с ростом  $x_3$ .

Очень интересный результат получен в случае  $m_2 \approx m_3$ . Оказывается, имеется область составов, где наблюдается спинодальный распад, хотя  $\varepsilon_T < \varepsilon_2$ ,  $\varepsilon_3$ , т. е. растворы полимеров однофазны. Появление этой области составов – следствие в чистом виде эффекта, связанного с коэффициентом  $B$ . Минимальные и максимальные значения  $\varphi_c$  даются соотношениями

$$\left( \frac{\varepsilon_T}{2} \pm \sqrt{\frac{\varepsilon_T^2}{4} - \frac{1}{m_2} + \frac{E}{4}} \right) \left( 1 - \frac{E}{4} m_2 \right)^{-1}$$

2.2. Рассмотрим теперь область значений  $B > m_w$ . В эту область входят системы с  $\varepsilon_T > \varepsilon_2$ ,  $\varepsilon_3$  (области, где может наблюдаться спинодальное разделение в растворе одного из полимеров) и системы с  $\varepsilon_T < \varepsilon_2$ ,  $\varepsilon_3$  (области, где растворы до смешивания однофазны). Левая ветвь спинодали

$\varphi_c'$ дается соотношением

$$\varphi_c' = \frac{\sqrt{4B + \varepsilon_T^2 m_w^2 - 4m_w} - \varepsilon_T m_w}{2(B - m_w)}, \quad (25)$$

в то время как для правой ветви  $\varphi_c''$  можно получить следующее выражение:

$$\varphi_c'' \cong \frac{B - m_w + \sqrt{(B - m_w)^2 + 4Bm_w\varepsilon_T - \frac{2B^2}{B - m_w}}}{2B} \quad (26)$$

Фазовая диаграмма в этом случае описывается соотношением

$$\begin{aligned} \varphi_c' &\sim \frac{1}{\varepsilon_T m_w} (\varepsilon_T m_w > 1), \quad \varphi_c' = \frac{1}{\sqrt{B - m_w}} (\varepsilon_T = 0) \\ \varphi_c' &\approx \frac{|\varepsilon_T| m_w}{B - m_w} (\varepsilon_T < 0) \end{aligned} \quad (27)$$

$$\varphi_c'' \approx 1 - \frac{m_w}{B} (1 - |\varepsilon_T|) \quad (28)$$

На рис. 2 приведен общий вид фазовой диаграммы в этом случае. Левая ветвь спинодали для  $B > m_w$  достаточно близка к левой ветви спинодали для  $m_w > B$  при  $\varepsilon_T > 0$ . На рис. 4 приведены зависимости  $\varphi_c'$  и  $\varphi_c''$  от  $x_3$  для различных  $m_2$ ,  $m_3$ ,  $B$ . Видно, что в случае одинаковых  $m_2 \sim m_3$  наблюдается симметрия графиков зависимостей  $\varphi_c'$  и  $\varphi_c''$  от  $x_3$ , для  $m_3 > m_2$  – асимметрия кривых, причем кривая  $\varphi_c(x_3)$  сдвинута в область малых содержаний  $x_3$ . Подобные зависимости наблюдали экспериментально [21, 22].

Таким образом, развитый подход позволил получить аналитические соотношения, описывающие основные экспериментальные закономерности, связанные с влиянием молекулярных параметров и состава системы на положение спинодальной области. Некоторые результаты расчетов не наблюдали ранее. Надеемся, что эти расчеты будут способствовать уточнению и обобщению экспериментальных закономерностей.

## ЛИТЕРАТУРА

1. Кулезнев В. Н. Смеси полимеров. М.: Химия, 1980, с. 302.
2. Полимерные смеси/Под ред. Поля Д. и Ньюмена С. М.: Мир, 1981, с. 550.
3. Напков С. П. Равновесие фаз в системе полимер – растворитель. М.: Химия, 1981, с. 272.
4. Fujita H., Teramoto A. J. Polymer Sci. Polymer Phys. Ed., 1982, v. 80, № 4, p. 893.
5. Фракционирование полимеров/Под ред. Канкова М. М.: Мир, 1971, с. 444.
6. Koningseld R., Staverman A. J. Polymer Sci. A-2, 1968, v. 6, № 3, p. 305.
7. Шишов А. Р., Френкель С. Н. Высокомолек. соед. Б, 1979, т. 21, № 5, с. 667.
8. Будотов В. П. Высокомолек. соед. А, 1983, т. 25, № 3, с. 493.
9. Де Жен П. Идеи скейлинга в физике полимеров. М.: Мир, 1982, с. 368.
10. Paterson D. J. Polymer Sci. A-1, 1968, v. 6, № 11, p. 3379; Paterson D., Tagger A. A. Высокомолек. соед. А, 1969, т. 11, № 9, с. 1817.
11. Flory P. J. Amer. Chem. Soc., 1965, v. 87, № 8, p. 1533.
12. Tagger A. A. Высокомолек. соед. А, 1977, т. 19, № 8, с. 1659.
13. Van Aarsten J. Europ. Polymer J., 1970, v. 6, № 9, p. 919.
14. McMaster L. Macromolecules, 1973, v. 6, № 9, p. 760.
15. Sacki S., Holsted J., Bonner D. J. Polymer Sci. Polymer., Phys. Ed., 1982, т. 20, № 4, с. 808.
16. Чалых А. Е., Сапожникова И. Н., Алиев А. Д. Высокомолек. соед. А, 1979, т. 21, № 10, p. 1664.
17. Чалых А. Е., Сапожникова И. Н. Высокомолек. соед. Б, 1981, т. 23, № 1, с. 169.
18. Scott R. J. Chem. Phys., 1959, v. 17, № 2, p. 268.
19. Zeman L., Patterson D. Macromolecules, 1972, v. 5, № 3, p. 513.
20. Hsu C., Prausnitz J. Macromolecules, 1974, v. 7, № 2, p. 320.

21. Кулезнев В. Н., Крохина Л. С. Успехи химии, 1973, т. 42, № 7, с. 1278.  
22. Будтов В. П., Сигаева Н. Н., Акимова О. Д., Рутман Г. И., Минскер К. С. Высокомолек. соед. Б, 1979, т. 21, № 1, с. 37.

Охтинское научно-производственное  
объединение «Пластполимер»

Поступила в редакцию  
1.IX.1983

## SPINODAL IN THE POLYMER — POLYMER — SOLVENT SYSTEM

BUDTOV V. P.

### Summary

The analytical relations for spinodals in the polymer — polymer — solvent systems have been derived from evaluation of parameters of the excluded volume. The dependences of spinodal curves on the composition, MM of components and quality of a solvent were analysed.